

## مدل‌سازی پدیده‌های درگیر در رسیدن پنیر سفید تولیدشده به روش فراپالایش پس از نمک‌پاشی

مولود نورانی<sup>\*</sup>، ناصر همدانی<sup>۲</sup>، علی نصیرپور<sup>۳</sup>

۱. دانشجوی دکتری علوم و صنایع غذایی، دانشگاه صنعتی اصفهان

۲، ۳. استادیار گروه علوم و صنایع غذایی، دانشگاه صنعتی اصفهان

(تاریخ دریافت: ۱۳۹۱/۱۱/۲۴ - تاریخ تصویب: ۱۳۹۲/۸/۲۱)

### چکیده

مرحله رسیدن پنیر از مراحل مهم در تولید آن است. در این تحقیق فرایند رسیدن پنیر سفید تهیه شده به روش فراپالایش (UF) عمده‌ترین پنیر صنعتی تولیدی در کشور از نظر انتقال جرم، حرارت، و تغییرات خصوصیات کیفی و ویژگی‌های حسی به طور جامع بررسی شده و مدل ریاضی برای توصیف آنها ارائه شده است. بدین منظور پس از اندازه‌گیری شاخص‌های لیپولیز، پروتئولیز، بافت، و ویژگی‌های حسی، مدل سینتیکی مناسب برای توصیف تغییرات این شاخص‌ها تعیین شد و با مدل انتقال حرارت موجود و با به دست آوردن رابطه عدد اسیدی با طعم و بافت دارای ازت غیرپروتئینی، مدل ریاضی جامعی برای توصیف هم‌زمان این رویدادها شرح و بسط داده شد: انتقال غیرهمجهت آب و نمک با قانون دوم فیک، انتقال حرارت با استفاده از قانون دوم فوریه، تغییرات ویژگی‌های کیفی به عنوان تابعی از عوامل درونی و بیرونی در حین رسیدگی، و نمک‌زنی با استفاده از نرم‌افزار متلب. به کمک روابط مذکور می‌توان تغییرات شاخص‌های لیپولیز، پروتئولیز، بافت، ویژگی‌های حسی، نمک، رطوبت، و دما را پیش‌بینی کرد. مقایسه نتایج حاصل از مدل با داده‌های اندازه‌گیری شده همبستگی بالای بین این مقادیر را نشان می‌دهد.

کلیدواژگان: انتقال جرم، انتقال حرارت، پروتئولیز، لیپولیز، مدل ریاضی

فرایند شامل واکنش‌های پیچیده بیوشیمیایی است که به سه گروه پروتئولیز، لیپولیز، و گلیکولیز طبقه‌بندی می‌شوند. عوامل بسیاری بر سرعت واکنش‌های مذکور تأثیر می‌گذارند که از مهم‌ترین آنها می‌توان به دما و غلظت نمک اشاره کرد که به‌دلیل تأثیر بر  $\text{pH}$ ، فعالیت میکروارگانیسم‌ها و آنزیم‌ها، و به تبع آن تغییر  $\text{pH}$ ، شدت لیپولیز و پروتئولیز، خواص حسی محصول نهایی را تحت تأثیر قرار می‌دهند. پدیده‌های غالب درگیر در رسیدن پنیر و مؤثر در کیفیت آن را می‌توان در سه گروه (الف) انتقال حرارت، (ب) انتقال جرم (آب و نمک)، و (ج) واکنش‌های بیوشیمیایی (پروتئولیز و لیپولیز) پروتئولیز طبقه‌بندی کرد.

### انتقال حرارت

انتقال حرارت به روش‌های هدایت، جابه‌جایی، و تشعشع صورت می‌گیرد و مقدار آن با اختلاف دما نسبت مستقیم و با مقاومت موجود در جهت جریان نسبت عکس دارد (Chalkesh Amiri, 1994; Incopera & Dewitt, 1996; Ozisik, 1994). در زمینه انتقال حرارت در پنیر مطالعات کمی صورت گرفته است که می‌توان به تحقیقات Pajonk *et al.* (2003) اشاره کرد. در این پژوهش ابتدا هدایت حرارتی، نفوذ یا انتشار حرارتی، و گرمای (Hot wire method) پنیر امنتال با روش‌های سیم داغ

### مقدمه

پنیر فراورده‌ای است مشتمل از چربی و پروتئین شیر به همراه کلسیم و فسفر که به صورت‌های متفاوت با پروتئین شیر ترکیب شده‌اند. پنیر افزون بر ترکیبات مذکور مقادیر کمی از اجزای تشکیل‌دهنده شیر چون نمک‌های معدنی محلول و مواد ازته غیرپروتئینی را دارد (Mortazavi *et al.*, 1995). یکی از انواع پنیرهای تولیدی در دنیا پنیر فتا است که در گروه پنیرهای نرم یا نیمه‌سخت قرار می‌گیرد (Afshar, 2004). تولید پنیر فتا به دو روش سنتی و فراپالایش انجام می‌شود. سیستم فراپالایش افزون بر حفظ پروتئین‌های آب پنیر، باعث افزایش راندمان پنیرسازی، افزایش ارزش غذیه‌ای، و صرفه‌جویی در هزینه‌های انرژی و نیروی انسانی می‌شود. با این حال حضور پروتئین‌های آب پنیر موجب کندرسیدن، عطر و طعم ضعیف، و بافت نرم می‌گردد. بنابراین لازم است با بهینه‌کردن عوامل مؤثر در رسیدن پنیر، پنیری با کیفیت مطلوب به دست آورد (Alborzi, 2001). در طول دوره رسیدن، لخته نرم و کم عطر و طعم، به پنیری رسیده با عطر، طعم، و بافت مطلوب تبدیل می‌شود. این

### واکنش‌های بیوشیمیابی (پروتئولیز و لیپولیز)

پروتئولیز در پنیر به دو صورت پروتئولیز اولیه و ثانویه اتفاق می‌افتد که پروتئولیز اولیه ناشی از فعالیت کوآگولانت باقیمانده، پلاسمین، و کاتپسین D است در حالی که در پروتئولیز ثانویه میکروارگانیسم‌های آغازگر و غیر آغازگر مؤثرند. در پنیر UF پروتئولیز به آهستگی اتفاق می‌افتد و در طی آن آمینواسیدهایی (Hesari *et al.*, 2006) تولید می‌شوند که در توسعه بافت و طعم اثربارند. در طول رسیدن اتفاق می‌افتد که نامطلوب درنظر گرفته می‌شود. تعادل اسیدهای چرب با محصولات پروتئولیز و سایر واکنش‌ها نقش مثبتی در ایجاد طعم مطلوب دارد. اسیدهای چرب با وزن مولکولی بالا عطر و طعم ضعیفی دارند. اکثر تغییرات لیپولیتیک در پنیر سفید آبنمکی در ۱۵ تا ۳۰ روز اول نگهداری اتفاق می‌افتد که کاملاً مطابق با حداکثر رشد باکتری‌هاست. مقدار لیپولیز در پنیرهای UF کمتر از پنیرهای معمولی است (Bech, 1993). پنیر UF در مقایسه با پنیر سنتی آهسته‌تر می‌رسد، زیرا بتالاکتوگلوبولین (پروتئین آب پنیر)، از فعالیت پلاسمین جلوگیری و تبدیل بتاکازین به گاماکازین و پروتئوزپتون را متوقف می‌کند (Karami *et al.*, 2009).

روابط سینتیک واکنش‌های شیمیابی، ارتباط بین سرعت از بین‌رفتن واکنش‌دهنده‌ها یا تولید محصولات و غلظت مواد را در هر زمان تعیین می‌کند. بهمنظور طبقه‌بندی معادلات سرعت واکنش، از کلمه مرتبه استفاده می‌شود که عبارت‌اند از مجموع توان‌هایی که در جمله‌های غلظت در شکل دیفرانسیل معادله سرعت واکنش دیده می‌شوند. در ادامه، معادلات واکنش‌های مرتبه صفر، اول، و آنژیمی ممانعتی دیده می‌شود.

(رابطه ۱)

$$[(C) - (C_0)] = Kt - Kt_0 \quad \text{واکنش مرتبه صفر}$$

$$\ln(C) - \ln(C_0) = Kt - Kt_0 \quad \text{واکنش مرتبه یک}$$

(رابطه ۳) واکنش آنژیمی ممانعتی

$$\ln\left(1 - \frac{C}{C_{\max}}\right) = Kt \quad \text{در اکثر واکنش‌های آنژیمی با پیشرفت واکنش، محصول تولیدی می‌تواند برای اشغال جایگاه فعال آنژیم با سوبسترا رقابت کند، به همین دلیل این واکنش‌ها از نوع ممانعتی‌اند (Toledo, 1991). عموماً از رابطه آرنیوس برای تعیین وابستگی دمایی واکنش‌ها استفاده می‌شود:}$$

روش فلاش (method Flash) و کالریمتر اسکنی تفرقی (Differential Scanning Calorimetry(DSC)) تعیین شد و پس از مطالعه ضریب انتقال حرارت پنیر تحت رطوبت نسبی و سرعت حرکت هوای محیط نگهداری با روش سایکرومتری، پروفیل دما در پنیر با روش تفاضل محدود بررسی شد. مدل حاصل در دامنه دمایی  $5-16^{\circ}\text{C}$  به خوبی پروفیل دما در پنیر را پیش‌بینی می‌کند. در دماهای بالاتر از  $16^{\circ}\text{C}$  به علت گرمای نهان ذوب چربی و با توجه به میزان بالای چربی در این پنیر مدل نمی‌تواند دما را پیش‌بینی کند.

### انتقال جرم

فرایند انتقال جرم به معنی انتقال یک یا چند ترکیب درون یک فاز و بین فازها بهوسیله انتشار و جابه‌جایی طبیعی یا اجرایی است (Simal *et al.*, 2001). نمکزنی پنیر از فرایندهایی است که طی آن انتقال جرم رخ می‌دهد و شامل حرکت غیر همسوی آب و نمک در نتیجه اختلاف فشار اسمزی بین فاز آبی پنیر و آبنمک است (Mulet, 1994). افزودن نمک در صنعت به سه روش عمده انجام می‌گیرد: (الف) غوطه‌ورکردن پنیر در محلول غلیظ آبنمک، (ب) افزودن نمک خشک روی سطح پنیر؛ (ج) اختلاط نمک خشک با پنیر در انتهای فرایند تولید. نمکزنی پنیر سفید تهیه شده به روش فراپالایش (UF) در ایران بیشتر به روش نمک‌پاشی خشک انجام می‌شود. در این روش پس از مدتی به علت انتقال رطوبت از پنیر به سمت کریستال‌های نمک در اثر تفاوت فشار اسمزی، محلول اشباع نمک در سطح پنیر تشکیل می‌شود و به تدریج نفوذ نمک به درون پنیر شروع می‌شود (Guinee & Fox, 1987). انتقال جرم در موادغذایی را می‌توان با قوانین فیک و با درنظرگرفتن ضریب انتشار مؤثر توصیف کرد (Boudhrioua *et al.*, 2003). از فاکتورهای مؤثر بر ضریب نفوذ می‌توان به دما و غلظت ترکیب مورد نظر اشاره کرد. ثابت درنظرگرفتن این ضریب موجب ایجاد خطأ در نتایج مدل پیشنهادی خواهد شد. بنابراین با تعیین چگونگی تغییر ضریب نفوذ به عنوان تابعی از دما و غلظت، می‌توان دقت مدل استفاده شده برای انتقال جرم را افزایش داد (Geurts *et al.*, 1974). سالیان متمادی پژوهشگران گوناگونی به پدیده انتقال جرم در پنیرهای متفاوت پرداخته‌اند که برای مثال می‌توان از مطالعات انجام‌شده روی پنیر Zorrilla & Rubialo, (Fynbo 1994), پنیر Luna & Bressan, (Curtiolo 1987) Turhan & Feta (Guinee & Fox, 1983) Romano Luna & Chavez, (Cheddar Kakalentunc, 1992) (Messens *et al.*, 1999), پنیر Gouda (Pajonk *et al.*, 2003b) Emmental نام برد.

رسیدن پنیر سفید ایرانی انجام داده اند ولی در هیچ یک از این مطالعات همه فرایندها شامل پروتئولیز، لیپولیز، و انتقال جرم و حرارت به طور جامع بررسی نشده است. از این رو مطالعه تغییرات پنیر در طول رسیدن و پیشنهاد مدل ریاضی جامع برای بهینه سازی شرایط به منظور تولید محصولی با کیفیت بالا و یکنواخت در کارخانجات تولید این نوع پنیر در داخل کشور ضروری است. اهداف ما در این تحقیق عبارت بودند از: (الف) توسعه مدل ریاضی برای توصیف انتقال حرارت و جرم (نمک و آب) در درون پنیر و پیش‌بینی تغییرات ایجاد شده روی خواص حسی پنیر فراپالایش در اثر لیپولیز و پروتئولیز پس از نمک‌پاشی خشک؛ و (ب) تأیید مدل توسعه‌داده شده به کمک مقایسه مقادیر اندازه‌گیری شده با داده‌های پیش‌بینی شده مدل.

## مواد و روش‌ها

### توسعه مدل

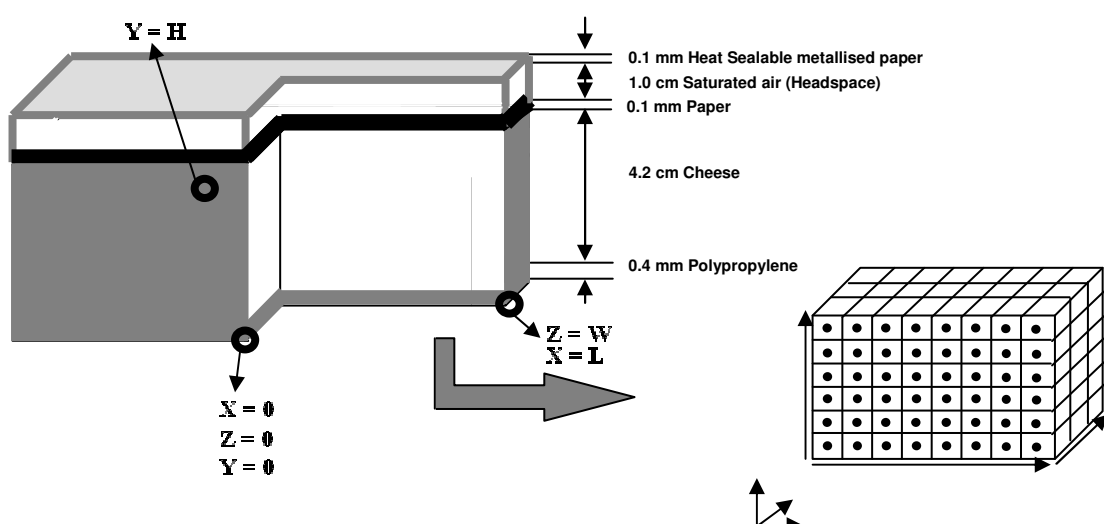
در این مطالعه فرایند انتقال جرم در پنیر فراپالایش به صورت یک بعدی و فرایند انتقال حرارت به صورت سه بعدی مطالعه شد. مدل سازی عددی انتقال حرارت در حالت سه بعدی، به دلیل تقارن حرارتی و شرایط مرزی یکسان برای  $\frac{1}{4}$  از کل بسته مکعب مستطیل شکل پنیر اعمال می‌شود (شکل ۱). برای ارتفاع بسته به دلیل شرایط مرزی متفاوت، تقارن وجود ندارد (در بخش فوقانی هوای اشباع و در بخش تحتانی لایه پلی‌پروپیلن).

$$K = K_o \exp\left(\frac{-Ea}{RT}\right) \quad (رابطه ۴)$$

KCl (2005) Sihufe *et al.* به جای NaCl را روی سینتیک تجزیه  $\beta$ -کازین در پنیر فاینبو مطالعه کردند و نتیجه گرفتند که می‌توان این پدیده را با مدل سینتیکی درجه اول توضیح داد. ثابت‌های سینتیکی در محدوده  $۰/۰۱۸$  و  $۰/۰۰۴$  روز ( $\frac{1}{روز}$ ) قرار داشت (طی ۹۰ روز رساندن) و انرژی اکتیواسیون در محدوده دمایی  $۱۶-۵^{\circ}\text{C}$  معادل با (کیلوکالری/گرم‌مول) براورد گردید. Folkertsma *et al.* (1996) تأثیر ترکیب‌های متفاوت دما-زمان را روی پروتئولیز، لیپولیز، و پیشرفت طعم پنیر چدار مطالعه کردند و رساندن در  $12^{\circ}\text{C}$  را به عنوان بهترین دمای رساندن توصیه کردند.

مدل سازی یکی از تکنولوژی‌ها و علوم توسعه‌یافته در دنیای امروز است. مدل‌های به کار رفته در مواد غذایی، به دو گروه عمده مدل‌های بنیادی و تجربی تقسیم می‌شوند (Irudayaraj, 2002; Tijskens *et al.*, 2001) جایگزین کردن آزمایش‌های عددی رایانه‌ای با مدل ایجاد شده به جای آزمایش‌های تجربی وقت‌گیر و پرهزینه است. شبیه‌سازی رایانه‌ای امکان اجرای آزمایش‌هایی را که در شرایط طبیعی انجام آن‌ها خیلی سخت و شاید غیر ممکن باشد، فراهم می‌سازد (Alborzi, 2001).

بررسی منابع نشان می‌دهد که گرچه (Karami *et al.* 2009) و Alizadeh *et al.* (2006) Hesari *et al.* (2006) مطالعاتی در زمینه بررسی فرایندهای گوناگون درگیر در پدیده



شکل ۱. مشبکه گره‌ها برای پنیر در حالت سه بعدی به منظور بررسی انتقال حرارت

$$-k \frac{\partial T}{\partial z} = \frac{T - T_{\infty}}{\frac{S}{k'} + \frac{1}{h} + \frac{\Delta z}{2k}} \quad \text{در } z=0 \quad (\text{رابطه ۱۰})$$

$$-k \frac{\partial T}{\partial y} = \frac{T - T_{\infty}}{\frac{S}{k'} + \frac{1}{h} + \frac{\Delta y}{2k}} \quad \text{در } y=0 \quad (\text{رابطه ۱۱})$$

$$-k \frac{\partial T}{\partial y} = \frac{T - T_{\infty}}{\frac{S'}{k''} + \frac{1}{h} + \frac{\Delta y}{2k}} \quad \text{در } y = H \quad (\text{رابطه ۱۲})$$

(رابطه ۱۳) شرایط اولیه:

$$\begin{aligned} & \text{در } 0 \leq y \leq W, \\ & \text{در } 0 \leq z \leq L \end{aligned}$$

### انتقال جرم

به محض قرارگرفتن پنیر در معرض نمک خشک، نمک جذب رطوبت از پنیر را شروع و در سطح پنیر ایجاد محلول اشباع می‌کند. در این هنگام تبادل جرم در سطح پنیر (حد واسط محلول آبنمک و پنیر) رخ می‌دهد که شدت آن با توجه به ثابت‌بودن غلظت اجزا در محلول آبنمک عمدتاً به وسیله ضرایب تبادل جرم خارجی آب و نمک کنترل می‌گردد. سپس به تبع تبادل جرم در سطح، دیفوزیون یک‌بعدی غیر پایدار و همزمان آب و نمک در داخل پنیر رخ می‌دهد. آب از داخل پنیر به طرف سطح و نمک از سطح به درون پنیر نفوذ می‌کند. میزان نمک خشک موجود در سطح پنیر رفتارهای تبادل نفوذ نمک به درون پنیر و نیز خروج آب از پنیر و حل‌شدن نمک در آن کاهش می‌یابد تا نهایتاً بلورهای نمک به اتمام می‌رسند. با اتمام بلورهای نمک در سطح پنیر، مرحله دوم انتقال جرم آغاز می‌شود. در این مرحله، پنیر در معرض محلول اشباع آبنمک قرار می‌گیرد و تبادل جرم در سطح پنیر (حد واسط محلول آبنمک و پنیر) و به تبع آن، دیفوزیون تک‌بعدی غیر پایدار و همزمان آب و نمک در داخل پنیر همچنان در جریان است. با ورود نمک به داخل پنیر و خروج آب از پنیر، محلول موجود در سطح پنیر از حالت اشباع خارج می‌شود و غلظت آن رفتارهای کاهش می‌یابد. انتقال جرم در این مرحله با ضرایب انتقال آب و نمک در پنیر و نیز ضرایب انتقال آب و نمک در محلول آبنمک موجود در سطح پنیر کنترل می‌شود. انتقال جرم (نمک و رطوبت) در داخل بافت پنیر تا رسیدن به تعادل کامل ادامه می‌یابد. معادلات استفاده شده برای توصیف انتقال رطوبت و نمک عبارت‌اند از:

$$\frac{\partial C_w}{\partial t} = \nabla D_w \nabla C_w \quad (\text{رابطه ۱۴}) \quad \text{معادلات اصلی}$$

فرضیات استفاده شده در توسعه مدل عبارت‌اند از: ۱) شکل هندسی پنیر، به صورت مکعب مستطیل است و تغییر حجم آن طی رسیدگی قابل صرف نظر کردن است، ۲) لایه آلومینیومی به عنوان عایق انتقال جرم در نظر گرفته شده، ولی از اثر آن در انتقال حرارت به دلیل هدایت حرارتی بالا، صرف نظر شده است، ۳) از مقاومت حرارتی لایه نمک طی انتقال حرارت به دلیل ضخامت کم صرف نظر شده است، ۴) از مقاومت تاماسی بین سطح پنیر و بسته صرف نظر شده است، ۵) ضریب انتقال حرارت در سطح (مابین بسته و هوا) ثابت و یکنواخت در نظر گرفته شده است، ۶) در حین گرم کردن خواص ترموفیزیکی و جرمی پنیر به جز هدایت حرارتی و ضریب دیفوزیون، ثابت فرض شده است، ۷) از حرارت تولیدی پنیر که به میکروارگانیسم‌ها و فرایند تخمیر ربط دارد صرف نظر می‌شود؛ و ۸) دما و غلظت آب و نمک در سرتاسر پنیر قبل از ورود آن به داخل محلول آبنمک یکنواخت و برابر با مقدار ثابتی است.

برای توصیف انتقال جرم (رطوبت و نمک) و حرارت ناپایا در پنیر به عنوان تابعی از مکان و زمان به ترتیب از قانون اول فیک و قانون اول فوریه استفاده شد (معادلات ۵ و ۶).

$$\frac{\partial C}{\partial t} = \nabla(D \cdot \nabla(C)) \quad (\text{رابطه ۵})$$

$$\frac{\partial T}{\partial t} = \frac{\lambda}{\rho C_p} \frac{\partial^2 T}{\partial x^2} \quad (\text{رابطه ۶})$$

### سیستم معادلات

#### انتقال حرارت

به محض قرارگرفتن بسته پنیر در معرض هوا، انتقال حرارت در همه ابعاد رخ می‌دهد. حرارت در سطح از طریق هدایت از لایه آلومینیومی، هوای اشباع از رطوبت و کاغذ روی سطح پنیر عبور می‌کند تا به سطح پنیر برسد و در پنیر انتقال یابد، در حالی که در اطراف و بخش تحتانی از لایه پلی‌پروپیلن عبور می‌کند. معادلات استفاده شده برای توصیف انتقال حرارت طی گرم یا سرد کردن بسته پنیر عبارت‌اند از (Dalvi, 2007)

$$\rho C_p \frac{\partial T}{\partial t} = \nabla k \nabla T \quad (\text{رابطه ۷}) \quad \text{معادله اصلی}$$

$$\frac{\partial T}{\partial x} = \frac{\partial T}{\partial z} = 0 \quad (\text{رابطه ۸}) \quad \text{شرط مرزی: در } z=w \text{ و } x=0$$

$$-k \frac{\partial T}{\partial x} = \frac{T - T_{\infty}}{\frac{S}{k'} + \frac{1}{h} + \frac{\Delta x}{2k}} \quad \text{در } x=L \quad (\text{رابطه ۹})$$

$$(\text{رابطه ۲۱}) \cdot \text{شرط اولیه: } \text{در } 0 \leq y \leq H$$

$$C_w = C_{w0} \quad (\text{رابطه ۲۲})$$

$$C_s = C_{s0}$$

در معادلات استفاده شده ضریب دیفوژیون نمک به صورت تابعی از غلظت نمک و دمای آب نمک‌گذاری مطابق روابط ۲۳ تا ۲۵ به دست آمد:

$$D_s = D_{0s} \exp\left(\frac{-Ea}{RT}\right) \quad (\text{رابطه ۲۳})$$

$$Ea = 69.197 \times C_s + 10794.323 \quad (\text{رابطه ۲۴})$$

$$D_{0s} = 8.4 \times 10^{-8} \times \exp(2.3 \times 10^{-2} C_s) \quad (\text{رابطه ۲۵})$$

معادلات اصلی انتقال حرارت و جرم با اعمال شرایط اولیه و مرزی به طور عددی و با روش تفاضل محدود بر مبنای شمای صریح (Explicit finite difference approach) با نرم‌افزار Matlab 6.5 حل گردیدند. در این مطالعه، بسته پنیر (به ابعاد  $2 \times 4 \times 11/2 \times 7/2$  سانتی‌متر) به ۱۲ گره در هر بعد تقسیم شد. پارامترها و خصوصیات ترموفیزیکی و جرمی به کار گرفته شده در مدل، در جداول ۱ و ۲ آورده شده است.

$$(\text{رابطه ۱۵}) \quad \frac{\partial C_s}{\partial t} = \nabla D_s \nabla C_s$$

$$(\text{رابطه ۱۶}) \quad \text{شرط مرزی (در مرحله اول): در } y=H$$

$$-D_w \frac{\partial C_w}{\partial y} = \frac{C_{ws}}{\frac{dy}{2 * D_w} + \frac{1}{k_w}} \quad (\text{رابطه ۱۷})$$

$$-D_s \frac{\partial C_s}{\partial y} = \frac{C_{ss} - C_{sa}}{\frac{dy}{2 * D_s} + \frac{1}{k_s}} \quad (\text{رابطه ۱۸})$$

$$-D_w \frac{\partial C_w}{\partial y} = \frac{C_{ws} - C_{wa}}{\frac{dy}{2 * D_w} + \frac{dy_a}{2 * D_{wa}}} \quad (\text{رابطه ۱۹})$$

$$\begin{aligned} -D_s \frac{\partial C_s}{\partial y} &= \frac{C_{ss} - C_{sa}}{\frac{dy}{2 * D_s} + \frac{dy_a}{2 * D_{sa}}} \\ \frac{\partial C_w}{\partial y} &= \frac{\partial C_s}{\partial y} = 0 \quad (\text{رابطه ۲۰}) \end{aligned} \quad \text{در } y = 0$$

جدول ۱. ضرایب انتقال حرارت و جرم خارجی آب و نمک، و ضریب دیفوژیون آب استفاده شده در مدل (Rahmani, 2007)

خارجی آب (متر/ثانیه)	ضریب انتقال جرم (متراً/ثانیه)	ضریب انتقال جرم خارجی نمک (متراً/ثانیه)	ضریب دیفوژیون آب (متر/ثانیه)	ضریب انتقال حرارت در سطح (وات/مترمربع کلوین)
۱۰ <sup>-۵</sup>	۱۰ <sup>-۶</sup>	۴/۶ × ۱۰ <sup>-۱۰</sup>	۲۱	

جدول ۲. پارامترها و شرایط به عنوان ورودی مدل برای پیش‌بینی دما طی حرارت دهی

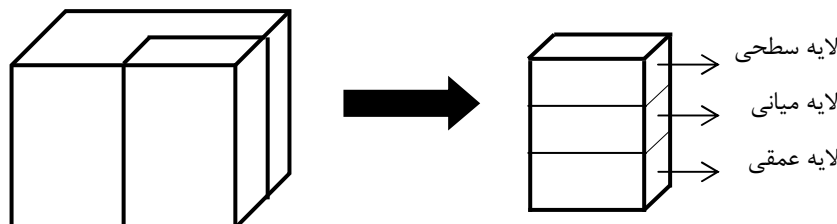
گام زمانی (ثانیه)	دما (کلوین)	درجه حرارت محیط (کلوین)	مدت زمان حرارت دهی (ثانیه)	ضریب دیفوژیون آب (متر/ثانیه)
۱۰	۲۹۰/۱۵	۳۲۳/۱۵	۱۰۰۰۰	۱۰۰۰

در  $H=4/6$  pH، به ۲۰ گرم پنیر به اندازه دو برابر آن آب مقطر اضافه شد و پس از اینکه با همزن مغناطیسی به مدت ۵ دقیقه هموزن گردید، pH آن با HCl در  $4/6$  pH تنظیم شد. بعد از ۳۰ دقیقه مجدداً pH در  $4/6$  تنظیم شد و یک ساعت داخل آون  $40^{\circ}\text{C}$  قرار گرفت. سپس نیم ساعت در  $300^{\circ}\text{C}$  سانتریفیوز شد و با کاغذ واتمن ۴۲ صاف گردید. میزان ازت عصاره با روش کلداال اندازه‌گیری شد. برای اندازه‌گیری ازت غیرپروتئینی، به عصاره به دست آمده از قسمت قبل، محلول تری کلرواستیک اسید با غلظت  $60$  درصد اضافه گردید تا به غلظت  $12$  درصد برسد. بعد از یک ساعت با کاغذ واتمن شماره ۴۲ صاف و میزان ازت آن با

سینتیک واکنش‌های بیوشیمیایی (پروتئولیز و لیپولیز) و تغییر خواص ارگانولپتیکی نمونه برداری برای بررسی سینتیک واکنش‌های بیوشیمیایی و تغییر خواص ارگانولپتیکی، از  $\frac{1}{4}$  کل بسته پنیر، پس از تقسیم آن به سه لایه مطابق شکل ۲، در زمان‌های  $0, 1, 3, 6, 10$  و هفت‌هفته پس از گرماخانه‌گذاری در دماهای  $4, 20, 40^{\circ}\text{C}$  درجه سلسیوس انجام شد. نسبت ازت محلول در  $pH=4/6$  به ازت کل، ازت غیرپروتئینی به ازت کل، و ازت محلول در  $pH=4/6$  به ازت محلول، به عنوان شاخص‌های پروتئولیز، و درجه اسیدی چربی به عنوان شاخص لیپولیز اندازه‌گیری شدند. برای اندازه‌گیری ازت محلول

گردید. سرعت پروب ۱۰۰ میلیمتر بر دقیقه بود. از نمودار به دست آمده حداکثر نیرو محاسبه شد و با تقسیم مقدار آن به سطح مقطع نمونه، حداکثر نیروی لازم برای شکست تعیین گردید (Berg, 2008). همه آزمایش‌ها در ۳ تکرار صورت گرفت. ارزیابی حسی با تست مقایسه‌ای انجام شد. به این ترتیب که نمونه‌های پنیر بعد از گذشت مقاطع زمانی مخصوص به ارزیابها ارائه شدند و از آنها خواسته شد براساس میزان مطلوبیت از نظر ظاهر، بافت، طعم، بو، و مقبولیت کلی نمونه‌ها را ارزیابی کنند (Meilgaard *et al.*, 2007). تجزیه آماری شاخص‌های پروتئولیز، لیپولیز، و بافت به صورت اسپلیت فاکتوریل بر پایه طرح کاملاً تصادفی و تجزیه آماری آزمون ارزیابی حسی به صورت فاکتوریل بر پایه طرح بلوک‌های کامل تصادفی با نرمافزار SAS انجام شد. از آزمون LSD نیز در صورت معنی‌دار بودن مقدار F برای مقایسه میانگین‌ها استفاده شد.

روش کلدال اندازه‌گیری شد (Kuchroo & Fox, 1982). برای اندازه‌گیری میزان ازت کل نیز از روش کلدال استفاده شد. به منظور اندازه‌گیری درجه اسیدی چربی پنیر، ۱۰ گرم پنیر در حضور ۶ گرم سولفات‌سدیم بی‌آب، کاملاً خرد شد و با ۶۰ میلی‌لیتر دی‌اتیل‌اتر به ارلن مایر در پیچ‌داری منتقل شد. سپس با همزن مغناطیسی کاملاً هم‌زده شد و با کاغذ واتمن شماره ۱ صاف شد. رسوب باقیمانده در ارلن سه‌بار متوالی با کاربرد ۲۰ میلی‌لیتر دی‌اتیل‌اتر شسته شد. کل حلال جمع‌آوری شده با محلول ۰/۱ نرمال KOH اتانولی تیتر شد. سپس حلال تبخیر شده و چربی باقیمانده وزن گردید. مقدار کل اسیدهای چرب با واحد میلی‌اکی‌والان در ۱۰۰ گرم چربی گزارش شد (Nunez *et al.*, 1986). برای ارزیابی بافت از آزمون فشردن تکمحوری به‌وسیله اینستران استفاده شد. بدین منظور نمونه‌های پنیر به شکل استوانه‌هایی با قطر ۲/۵ سانتی‌متر بربیده شدند و پروب مخصوص به پیشانی جلورونده دستگاه متصل شدند.



شکل ۲. تقسیم‌بندی پنیر به لایه‌های گوناگون به منظور اندازه‌گیری شاخص‌های پروتئولیز، لیپولیز، و خواص ارگانولپتیکی

تصویف سینتیک واکنش‌های بیوشیمیایی انتخاب شد. با توجه به ریشه میانگین مربعات خطأ و ضرایب همبستگی محاسبه شده (جدول ۳)، برای شاخص‌های پروتئولیز داده‌های حاصل از مدل درجه صفر و برای شاخص لیپولیز داده‌های حاصل از مدل ممانعی مطابقت بیشتری با داده‌های آزمایشگاهی دارند. بنابراین برای تصویف تغییرات شاخص‌های پروتئولیز و لیپولیز به ترتیب، مدل درجه صفر و مدل ممانعی انتخاب گردید.

برای انتخاب مناسب‌ترین مدل برای تصویف سینتیک تغییرات شاخص‌های پروتئولیز شامل ازت غیر پروتئینی به کل، ازت محلول به کل، و ازت غیرپروتئینی به محلول از معادلات سینتیکی درجه صفر و اول استفاده شد. برای شاخص لیپولیز (عدد اسیدی) افزون بر این معادلات از معادله واکنش‌های ممانعی نیز استفاده شد. ضریب همبستگی و ریشه میانگین مربعات خطأ (RMSE) مابین داده‌های تجربی و نتایج پیش‌بینی شده، با هر مدل محاسبه شد و الگویی که حداکثر همبستگی و حداقل RMSE را داشت، مدلی مناسب برای

جدول ۳. مقایسه اختلاف داده‌های آزمایشگاهی با نتایج حاصل از مدل شاخص‌های پروتئولیز و لیپولیز

		ازت محلول به کل ازت غیرپروتئینی به کل		ازت غیرپروتئینی به کل		عدد اسیدی		شاخص‌ها	
		درجه واکنش	صفرا	صفرا	صفرا	صفرا	صفرا	صفرا	صفرا
ریشه میانگین مربعات خطأ	۰/۵۶	۰/۷۳	۰/۴۶	۰/۷۳	۰/۲۳	۰/۲۳	۰/۲۳	۰/۲۳	۰/۲۳
ضریب همبستگی	۰/۹۹	۰/۹۸	۰/۹۹	۰/۹۸	۰/۹۴	۰/۹۴	۰/۹۴	۰/۹۴	۰/۹۴
ریشه میانگین مربعات خطأ	۰/۵۶	۰/۹۶	۰/۹۵	۰/۹۸	۰/۹۲	۰/۹۲	۰/۹۲	۰/۹۲	۰/۹۲
ضریب همبستگی	۰/۹۹	۰/۹۸	۰/۹۹	۰/۹۸	۰/۹۴	۰/۹۴	۰/۹۴	۰/۹۴	۰/۹۴
اول	۰/۹۴	۰/۹۶	۰/۹۵	۰/۹۸	۰/۹۲	۰/۹۲	۰/۹۲	۰/۹۲	۰/۹۲
۳/۷۲	۲/۹۹	۱/۸۱	۱/۱۲	۲/۵۷	۲/۵۷	۲/۵۷	۲/۵۷	۲/۵۷	۲/۵۷

معادله ۲۹ برای شاخص ازت محلول به ازت کل  $0/۹۴$ ، شاخص ازت غیر پروتئینی به ازت کل  $0/۹۸$ ، و شاخص ازت غیر پروتئینی به ازت محلول  $0/۹۶$  است.

#### تأیید مدل

تأیید بخش انتقال حرارت مدل توسعه‌یافته از طریق مقایسه پروفیل‌های دمای پیش‌بینی شده به‌وسیله مدل، با مقادیر اندازه‌گیری شده به‌وسیله ترموموکوپل در نقاط متفاوت بسته پنیر انجام شد (Dalvi, 2007). تأیید بخش انتقال جرم مدل با مقایسه داده‌های تئوریک غلظت‌فاضله پیش‌بینی شده به‌وسیله مدل برای نمک و رطوبت در داخل پنیر با مقادیر اندازه‌گیری شده غلظت نمک و رطوبت انجام گرفت (Rahmani, 2007). برای تأیید بخش پیش‌بینی سینتیک واکنش‌های بیوشیمیایی و تغییر خواص حسی پنیر طی رسیدن، از مقایسه مقادیر پیش‌بینی شده برای شاخص‌های پروتئولیز، لیپولیز، سفتی بافت، طعم، و پذیرش کلی با مقادیر اندازه‌گیری شده استفاده شد. ضریب همبستگی بالا بین مقادیر پیش‌بینی شده به‌وسیله مدل با مقادیر اندازه‌گیری شده و ریشه میانگین مربعات خطای کم نشانگر اعتبار مدل خواهد بود.

در پایان بر مبنای ارزیابی حسی انجام شده، روابط تغییرات سفتی بافت پنیر به صورت تابعی از میزان ازت غیر پروتئینی، طعم با عدد اسیدی، و پذیرش کلی با طعم استخراج گردید. معادلات نهایی برای توصیف تغییرات شاخص‌های لیپولیز، پروتئولیز، بافت، و ویژگی‌های حسی عبارت‌اند از:

(رابطه ۲۶)

$$\text{به کل}(\times ۰/۵۷۳) - \text{ازت غیرپروتئینی به کل}(\times ۰/۲۱) + \text{ازت غیرپروتئینی}(\times ۰/۳۰) = \text{softi بافت}$$

(رابطه ۲۷)

$$\text{شاخص طعم}(\times ۰/۱۲۰) = \text{عدد اسیدی}(\times ۰/۱۰۴) + \text{آزت}(\times ۰/۵)$$

(رابطه ۲۸)

$$\text{پذیرش کلی}(\times ۰/۹۳۳) = \text{آزت}(\times ۰/۲۹۳) + \text{شاخص طعم}(\times ۰/۹۳۳)$$

#### شاخص‌های پروتئولیز

(رابطه ۲۹)

$$y = K_{01} \exp(Ea_1(\frac{1}{T_1} - \frac{1}{T_2}))t + K_{02} \exp(Ea_2(\frac{1}{T_1} - \frac{1}{T_2}))$$

#### شاخص لیپولیز

(رابطه ۳۰)

$$y = 25(1 - (\exp(K_{01} \exp(Ea_1(\frac{1}{T_1} - \frac{1}{T_2})))t + K_{02} \exp(Ea_2(\frac{1}{T_1} - \frac{1}{T_2}))))$$

ضرایب معادلات ۲۹ و ۳۰ در جدول ۴ مشاهده می‌شود.

ضریب همبستگی برای معادلات ۲۶ تا ۲۸ برابر با  $0/۹۶$

برای معادله ۳۰ برابر با  $0/۹۹$  است. همچنین ضریب همبستگی

جدول ۴. مقادیر ضرایب معادلات توصیف‌کننده تغییرات شاخص‌های پروتئولیز و لیپولیز

شاخص‌ها	$K_{01}$ (۱ بر ثانیه)	$Ea_1$ (کیلوگرم)	$K_{02}$ (۱ بر ثانیه)	$Ea_2$ (کیلوژول بر بر کیلوگرم)
ازت محلول	$2/۹۴ \times 10^{-6}$	$-1787/37$	$31/96$	$-442/26$
ازت غیر پروتئینی (لایه سطحی)	$2/01 \times 10^{-6}$	$3390/87$	$9/31$	$-72/18$
ازت غیر پروتئینی (لایه میانی)	$1/29 \times 10^{-6}$	$2168/31$	$9/57$	$174/28$
ازت غیر پروتئینی به محلول (لایه سطحی)	$1/98 \times 10^{-6}$	$5383/75$	$29/65$	$694/89$
ازت غیر پروتئینی به محلول (لایه میانی)	$1/33 \times 10^{-6}$	$6324/61$	$29/71$	$521/90$
عدد اسیدی (لایه سطحی)، زمان < ۶۰۴۸۰۰ ثانیه	$-7/38 \times 10^{-8}$	$10996/53$	$-0/37$	$-139/64$
عدد اسیدی (لایه سطحی)، زمان > ۶۰۴۸۰۰ ثانیه	$-7/38 \times 10^{-8}$	$1530/10$	$-0/37$	$3348/74$
عدد اسیدی (لایه میانی)، زمان < ۶۰۴۸۰۰ ثانیه	$-8/97 \times 10^{-8}$	$11606/10$	$-0/37$	$-431/92$
عدد اسیدی (لایه میانی)، زمان > ۶۰۴۸۰۰ ثانیه	$-8/97 \times 10^{-8}$	$-3325/37$	$-0/37$	$4273/80$
عدد اسیدی (لایه عمقی)، زمان < ۶۰۴۸۰۰ ثانیه	$-8/64 \times 10^{-8}$	$10827/49$	$-0/36$	$-142/12$
عدد اسیدی (لایه عمقی)، زمان > ۶۰۴۸۰۰ ثانیه	$-8/64 \times 10^{-8}$	$-2284/23$	$-0/36$	$4035/87$

طی گرمایش سه‌بعدی پنیر انجام گردید. شکل ۳ مقایسه نتایج تغییرات دمای پیش‌بینی شده به‌وسیله مدل توسعه‌داده شده بر مبنای ورودی‌های مندرج در جداول ۱ و ۲ و مقادیر دمایی اندازه‌گیری شده در سطح، مرکز، و بخش تحتانی بسته پنیر طی حرارت‌دهی سه‌بعدی در  $50^{\circ}\text{C}$  درجه سلسیوس را نشان می‌دهد.

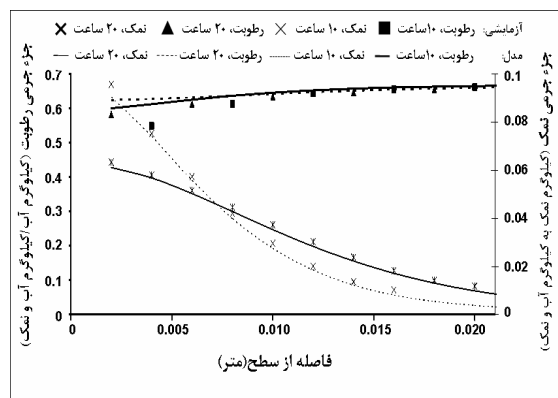
#### نتایج و بحث

##### تأیید مدل

همان‌گونه که در بخش مواد و روش‌ها توضیح داده شد، تأیید بخش انتقال حرارت مدل با مقایسه پروفیل‌های دمایی اندازه‌گیری شده و پیش‌بینی شده به‌وسیله مدل توسعه‌داده شده

به وسیله مدل و مقادیر آزمایشی وجود دارد (به ترتیب بیش از ۹۸ و ۹۹ درصد برای نمک و رطوبت).

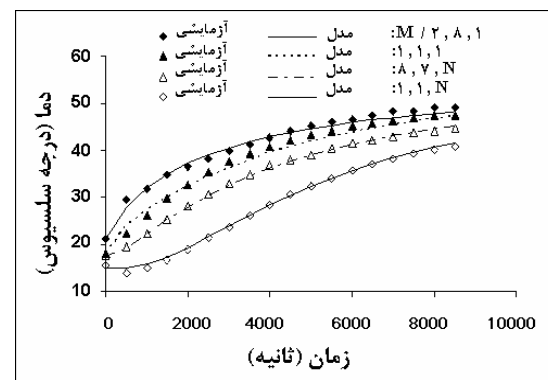
شکل‌های ۵ و ۶ و ۷ تأییدبخش پیش‌بینی سینتیک واکنش‌های بیوشیمیایی و تغییر خواص حسی پنیر طی رسیدگی با مقایسه مقادیر پیش‌بینی شده برای تغییرات شاخص‌های پروتئولیز و لیپولیز، سفتی بافت، طعم، و پذیرش کلی طی رسیدگی پنیر با مقادیر اندازه‌گیری شده‌اند. ضریب همبستگی بالا نشان‌دهنده مناسب بودن روابط استفاده شده برای توصیف تغییرات این شاخص‌هاست.



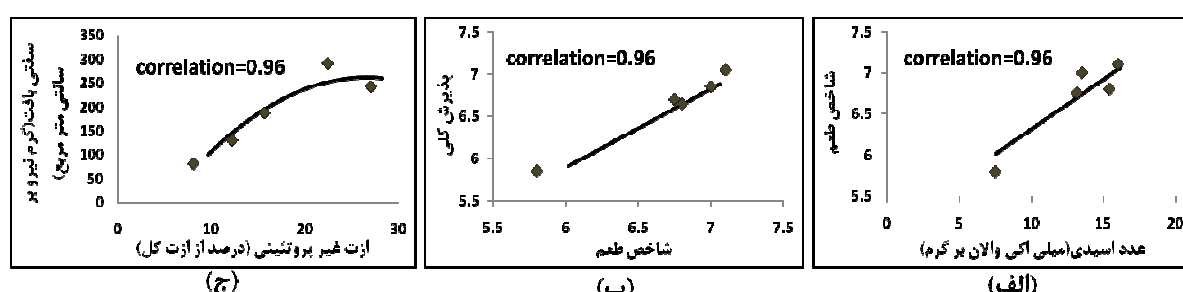
شکل ۴. مقایسه غلظت‌های نمک و رطوبت پیش‌بینی شده به وسیله مدل با داده‌های آزمایشی در دمای ۱۵ درجه سلسیوس پس از ۱۰ و ۲۰ ساعت از نمک‌پاشی

همان‌طور که مشاهده می‌گردد انتظام خوبی بین دماهای پیش‌بینی شده و اندازه‌گیری شده وجود دارد.

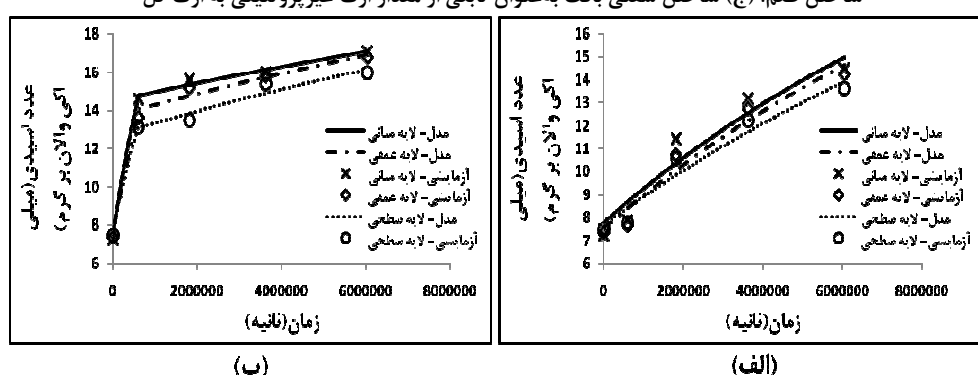
تأیید بخش انتقال جرم مدل با مقایسه داده‌های غلظت‌فاضله پیش‌بینی شده به وسیله مدل برای نمک و رطوبت ۴ در داخل پنیر با مقادیر اندازه‌گیری شده انجام گرفت. شکل ۴ مقایسه غلظت‌های نمک و رطوبت پیش‌بینی شده به وسیله مدل با داده‌های اندازه‌گیری شده در دمای ۱۵ درجه سلسیوس پس از ۱۰ و ۲۰ ساعت از نمک‌پاشی را نشان می‌دهد. همان‌طور که مشاهده می‌شود همبستگی بالایی بین مقادیر پیش‌بینی شده



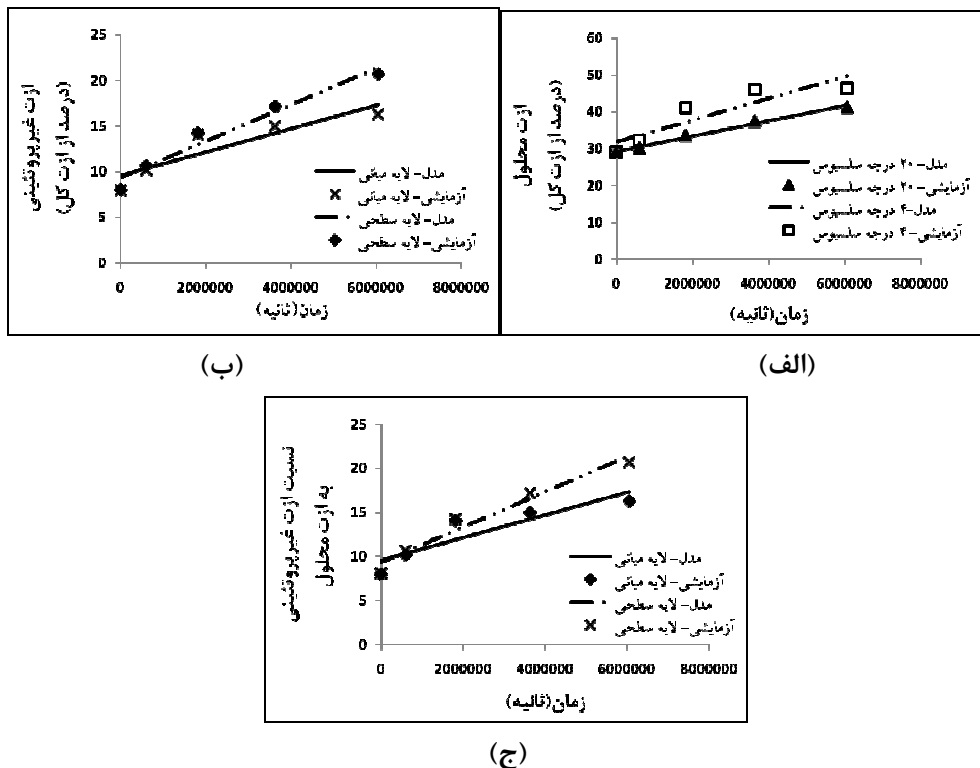
شکل ۳. مقایسه پروفیل داده‌های آزمایشی و داده‌های پیش‌بینی شده به وسیله مدل در نقاط گوناگون طی حرارت دهنده در ۵۰°C (مطابق شکل ۱) **M** نod سطحی در بعد طولی و **N** نod سطحی در بعد ارتفاع است



شکل ۵. مقایسه نتایج آزمایشگاهی با داده‌های حاصل از مدل (الف): شاخص طعم به عنوان تابعی از عدد اسیدی، (ب): شاخص پذیرش کلی به عنوان تابعی از شاخص طعم؛ (ج) شاخص سفتی بافت به عنوان تابعی از مقدار ازت غیرپروتئینی به ازت کل



شکل ۶. مقایسه نتایج آزمایشگاهی با داده‌های حاصل از مدل ممانعتی برای عدد اسیدی: (الف): دمای ۴°C؛ (ب): دمای ۲۰°C



شکل ۷. مقایسه نتایج آزمایشگاهی با داده‌های حاصل از مدل درجه صفر برای شاخص‌های پروتئولیز: (الف): ازت محلول به کل (میانگین اعداد لایه سطحی و میانی)، (ب): ازت غیرپروتئینی به کل دمای  $4^{\circ}\text{C}$ ; (ج): ازت غیرپروتئینی به محلول دمای  $4^{\circ}\text{C}$

آبنمک‌گذاری در لایه سطحی سرعت و میزان آب خارج شده زیاد است، چون در ابتدا نمک خشک موجود در سطح پنیر به شدت رطوبت لایه سطحی را جذب می‌کند ولی با گذشت زمان این مقدار کاهش پیدا می‌کند و همان‌طور که در شکل دیده می‌شود رطوبت در این لایه افزایش می‌یابد. این افزایش به‌دلیل کاهش سرعت و میزان آب خارج شده از این لایه در اثر کاهش گرادیان غلظت رطوبت بین لایه سطحی و محلول آبنمک و در کنار آن ورود آب لایه‌های پایینی به لایه سطحی است. درباره میزان نمک جذب شده نیز همین روند وجود دارد و مشاهده می‌شود که در لایه سطحی ابتدا مقدار نمک به شدت افزایش یافته است که به‌دلیل رسیدن نمک به حالت اشباع و ایجاد گرادیان غلظت بین لایه سطحی پنیر و محلول آبنمک و آغاز نفوذ است و سپس به‌دلیل خروج نمک از لایه سطحی و ورود آن به لایه‌های پایینی و نیز کم‌شدن گرادیان غلظت بین لایه سطحی پنیر و محلول آبنمک، غلظت نمک در لایه سطحی کاهش یافته است. در دو لایه دیگر همواره رطوبت در حال کاهش و نمک در حال افزایش است و سطح نمک در همه زمان‌ها در لایه میانی بیشتر از لایه عمقی و سطح رطوبت در همه زمان‌ها در لایه عمقی بیشتر از لایه میانی است. این بدان معناست که با فاصله‌گرفتن از سطح، غلظت نمک کاهش و

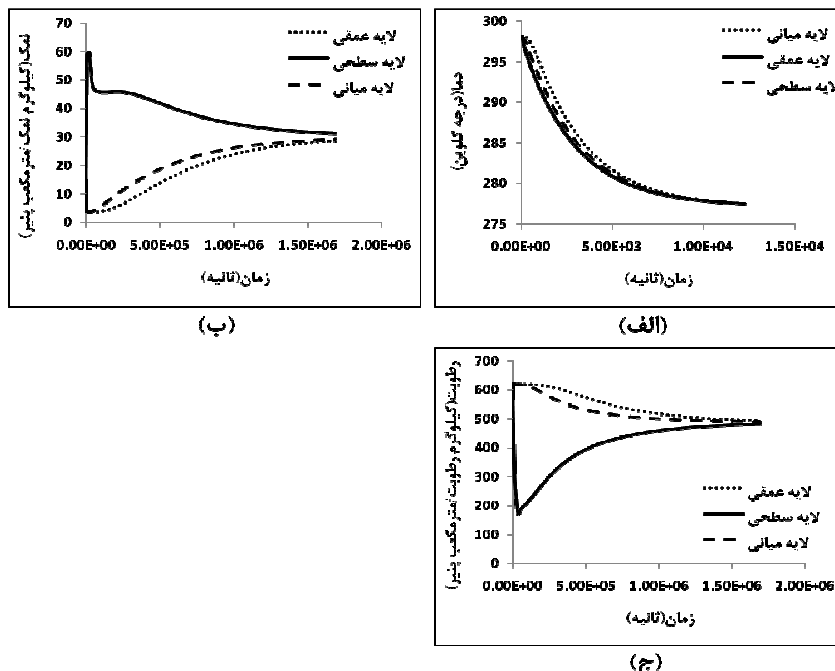
با توجه به دقت مناسب مدل در برآورد مقادیر آزمایشی، اعتبار مدل توسعه‌داده شده، تأیید شد و مدل برای استخراج نتایج در شرایط متفاوت کاربرد دارد.

#### استخراج نتایج از مدل

مدل توسعه‌داده شده قادر است مقادیر نمک و رطوبت نمونه را به عنوان تابعی از دما، زمان و مکان، سرعت خروج آب از پنیر در هر زمان، مقدار کل آب خارج شده، میزان بلورهای نمک حل شده، زمان لازم برای به تعادل رسیدن دما و غلظت آب و نمک داخل پنیر (پایان نفوذ نمک به داخل پنیر)، غلظت نمک و رطوبت در محلول آبنمک موجود در سطح پنیر، تغییرات شاخص‌های لیپولیز، پروتئولیز، بافت، و ویژگی‌های حسی را در کل طول فرایند پیش‌بینی کند. قسمت (الف) شکل ۸ پروفیل تغییرات دما در سه لایه پنیر طی رسیدگی تا زمان رسیدن به تعادل دمایی در دمای  $4^{\circ}\text{C}$  را نشان می‌دهد. همان‌طور که مشاهده می‌شود زمان لازم برای رسیدن به این تعادل در دمای  $4^{\circ}\text{C}$ ،  $12300$  ثانیه است. با توجه به شکل دیده می‌شود که لایه میانی دمای بالاتری در مقایسه با دو لایه دیگر دارد. شکل ۸ قسمت‌های (ب) و (ج)، پروفیل‌های پیش‌بینی شده برای تغییرات نمک و رطوبت را در سه لایه پنیر طی رسیدگی تا زمان رسیدن به تعادل در دمای  $4^{\circ}\text{C}$  نشان می‌دهند. در شروع

محلول آبنمک، دچار تغییرات بیشتری در مقایسه با لایه‌های پایین‌تر می‌گردد.

میزان رطوبت افزایش می‌یابد. در ضمن با افزایش زمان به میزان غلظت نمک در لایه میانی و عمقی افزوده می‌شود و میزان رطوبت کاهش می‌یابد. به طور کلی لایه‌های نزدیک به سطح و



شکل ۸. پروفیل تغییرات دما و غلظت در لایه‌های گوناگون پنیر در طی رسیدگی تا زمان رسیدن به تعادل، در دمای  $4^{\circ}\text{C}$ : (الف) پروفیل تغییرات دما، (ب) پروفیل تغییرات نمک؛ (ج) پروفیل تغییرات رطوبت

انتقال نمک به لایه‌های پایین‌تر، کاهش می‌یابد. مقایسه داده‌های آزمایشی با داده‌های پیش‌بینی شده به‌وسیله مدل نشان‌دهنده کارایی مدل توسعه‌داده شده در پیش‌بینی مقادیر آزمایشی است. بنابراین می‌توان از مدل به دست آمده برای کنترل و بهینه‌سازی فرایند نمک‌پاشی خشک، در جهت تولید پنیری با کیفیت بالا و یکنواخت استفاده کرد.

### سپاسگزاری

از جناب آقای دکتر شاهدی و جناب آقای مهندس بهرامی به پاس زحمت‌های بی‌دریغشان سپاسگزاریم.

معرفی نمادها	
غلظت	C
غلظت اولیه	$C_0$
حداکثر غلظت	$C_{\max}$
گرمای ویژه (ژول بر کیلوگرم کلوین)	$C_p$
غلظت نمک (کیلوگرم بر مترمکعب پنیر)	$C_s$
غلظت اولیه نمک (کیلوگرم بر مترمکعب پنیر)	$C_{s0}$

در دمای  $4^{\circ}\text{C}$  پس از گذشت ۱۴۱۹۷۸۰ ثانیه و در دمای  $20^{\circ}\text{C}$  پس از گذشت ۱۶۸۷۷۴۰ ثانیه میزان نمک و رطوبت در سه لایه به تعادل می‌رسد. بنابراین سرعت تبادل جرم در دمای بالا بیشتر است. افزایش دما به افزایش جنبش مولکولی آب و نمک می‌انجامد و همچنین عوامل ذاتی بازدارنده نفوذ در پنیر همانند ویسکوزیته فاز آبی پنیر و مقدار آب پیوندشده با شبکه پروتئینی را می‌کاهد. بنابراین میزان نفوذ با افزایش دما افزایش می‌یابد.

### نتیجه‌گیری کلی

مدلی ریاضی برای توصیف انتقال حرارت، جرم، سینتیک واکنش‌های شیمیایی، و تغییرات ویژگی‌های حسی پنیر، طی گرمخانه‌گذاری و سردخانه‌گذاری بسته‌های مکعبی شکل حاوی پنیر بعد از نمک‌پاشی خشک، با استفاده از حل عددی قانون دوم فوريه و قانون دوم فيک (روش تفاضل محدود) روی نرم افزار متلب توسعه داده شد. نتایج پیش‌بینی شده به‌وسیله مدل نشان داد که غلظت نمک در طی نمک‌پاشی خشک در لایه‌های سطحی ابتدا به شدت افزایش، و سپس با گذشت زمان و با

ضریب هدایت حرارتی مؤثر (وات بر متر کلوین)	$k$	غلظت نمک در محلول فوق اشباع آبنمک (کیلوگرم نمک بر کیلوگرم آبنمک)	$C_{sa}$
ثابت سرعت (۱ بر زمان)	$K$	غلظت نمک در پنیر (کیلوگرم بر مترمکعب پنیر)	$C_{ss}$
فاکتور پری اکسپوننشیال (Pre-exponential)	$K_0$	مقدار رطوبت (کیلوگرم بر مترمکعب پنیر)	$C_w$
ضریب هدایت حرارتی پلی پروپیلن (وات بر متر کلوین)	$k'$	مقدار اولیه رطوبت (کیلوگرم بر مترمکعب پنیر)	$C_{w0}$
ضریب هدایت حرارتی هوا (وات بر متر کلوین)	$k''$	مقدار رطوبت در محلول آبنمک (کیلوگرم رطوبت بر کیلوگرم آبنمک)	$C_{wa}$
ضریب تبادل نمک در سطح (متر بر ثانیه)	$k_s$	مقدار رطوبت در پنیر (کیلوگرم بر مترمکعب پنیر)	$C_{ws}$
ضریب تبادل رطوبت در سطح (متر بر ثانیه)	$k_w$	ضریب انتقال جرم	$D$
طول بسته (متر)	$L$	فاکتور پری اکس پوننشیال	$D_{0s}$
ثابت گازها $8/31450$ (ژول بر مول کلوین)	$R$	ضریب انتقال نمک در پنیر (متر بر مجذور ثانیه)	$D_s$
ضخامت پلی پروپیلن (متر)	$S$	ضریب انتقال نمک در آبنمک (متر بر مجذور ثانیه)	$D_{sa}$
ضخامت لایه هوا (متر) زمان (ثانیه)	$S'$	ضریب انتقال رطوبت در پنیر (متر بر مجذور ثانیه)	$D_w$
دماهی مطلق (کلوین)	$t$	ضریب انتقال رطوبت در آبنمک (متر بر مجذور ثانیه)	$D_{wa}$
زمان اولیه (ثانیه)	$T$	ارتفاع آبنمک (متر)	$dy_a$
دماهی اولیه (کلوین)	$t_0$	انرژی اکتیواسیون (کیلوژول بر مول)	$Ea$
دماهی هوا (کلوین)	$T_0$	میانگین ضریب انتقال حرارت در سطح (وات بر مترمربع کلوین)	$h$
عرض بسته (متر)	$T_\infty$	ارتفاع بسته (متر)	$H$
ضریب هدایت حرارتی (وات بر متر کلوین)	$\lambda$		
چگالی (کیلوگرم بر مترمکعب)	$\rho$		

## REFERENCES

- Afshar, S. (2004). Study of effects of somatic cells on physical and chemical properties and efficiency of traditional and UF cheese. M. Sc. thesis, Tabriz University, Iran. (In Farsi)
- Alborzi, S. (2001). Study of affective factors in enhancing the hygiene quality of UF cheese with an emphasis on fungal contamination prevention. M. Sc. Thesis, Shiraz University, Iran. (In Farsi)
- Alizadeh, M., Hamed, M. & Khosroshahi, A. (2006). Modeling of proteolysis and lipolysis in Iranian white brine cheese. *Food Chemistry*, 97, 294-301.
- Bech, A. M. (1993). Characterizing ripening in UF-Cheese. *International Dairy Journal*, 3, 329-342.
- Berg, L. (2008). Texture of food gels explained by combining structure and large deformation properties. Ph. D. dissertation, Wageningen University, Wageningen.
- Boudhrioua, N., Bionazza, C. & Daudin, J. D. (2003). Estimation of moisture diffusivity in gelatin-starch gels using time-dependent concentration-distance curves at constant temperature. *Food Chemistry*, 82, 139-149.
- Chalkesh Amiri, M. (1996). *Fundamentals of heat transfer*. Isfahan: Isfahan University of Technology Publications (In Farsi)
- Dalvi, M. (2007). *Heat transfer modeling in UF cheese*. M. Sc. thesis, Isfahan University of Technology, Iran. (In Farsi)
- Folkertsma, B., Fox, P. F. & McSweeney, P. L. H. (1996). Accelerated ripening of Cheddar cheese at elevated temperatures. *International Dairy Journal*, 6(11-12), 1117-1134.
- Geurts, T. J., Walstra, P. & Mulder, H. (1974). Transport of salt and water during salting of cheese. 1. Analysis of the process involved. *Netherlands Milk and Dairy Journal*, 28, 102-129.
- Guinee, T. P. & Fox, P. F. (1983). Sodium chloride and moisture changes in Ramano-type cheese during salting. *Journal of Dairy Research*, 50, 511-518.
- Guinee, T. P. & Fox, P. F. (1987). Cheese: chemistry, physics and microbiology. *Elsevier Application Science*, 1, 251-297.
- Hesari, J., Ehsani, M.R., Kosroshahi, A & McSweeney, P. L. H. (2006). Contribution of rennet and starter to proteolysis in Iranian UF white cheese. *Lait*, 86, 291-302.
- Incropera, F. P. & DeWitt, D. P. (1996) *Introduction to heat transfer* (3rd ed.), New York: John Wiley & Sons

- Irudayaraj, J. (2002) *Food processing operation modeling*, New York: Marcel Dekker
- Karami, M., Ehsani, M. R., mousavi, S. M., Rezaei, K. & Safari, M. (2009). Changes in the rheological properties of Iranian UF-Feta cheese during ripening. *Food Chemistry*, 112, 539-544
- Kuchroo, C. N. & Fox, P. F. (1982). Soluble nitrogen in Cheddar cheese: comparison of extraction procedures. *Milchwissenschaft*, 37, 331-335.
- Luna, J. A. & Bressan, J. A. (1987). Mass transfer during ripening of Cuartiolo Argentino cheese. *Journal of Food Science*, 52(2), 308-311.
- Luna, J. A. & Chavez, M. S. (1992). Mathematical model for water diffusion during brining of hard and semi-hard cheese. *Journal of Food Science*, 57(1), 55-58.
- Meilgaard, M., Civille, G. V. & Thomas, C. B. (2007). *Sensory evaluation techniques* (3rd ed.). New York: CRC Press/Taylor & Francis
- Messens, W., Dewettinck, K., Van Camp, J. & Huyghebaert, A. (1999). Transport of sodium chloride and water in Gouda cheese as affected by high-pressure brining. *International Dairy Journal*, 9, 569-576.
- Mortazavi, A., Qods Rouhani, M. & Jouyandeh, H. (1995) *Milk and dairy products technology*. Mashhad: Ferdousi University Publications (In Farsi)
- Mulet, A. (1994) Drying modelling and water diffusivity in carrots and potatoes. In P. Fito, A. Mulet, & B. McKenna (Eds.), *Water in foods*. London: Elsevier Application Science.
- Nunez, M., Garcia-Aser, C., Rodriguez-Marin, M. A., Medina, M. & Gaya, P. (1986). The effect of ripening and cooking temperatures on proteolysis and lipolysis in Manchego cheese. *Food Chemistry*, 21, 115-123.
- Ozisik, M. N. (1994) Finite differences methods in heat transfer. London: CRC press
- Pajonk, A., Saurel, R. & Andrieu, G. (2003a). Experimental study and modeling of effective NaCl diffusion coefficient value during Emmental cheese brining. *Journal of Food Engineering*, 60(3), 307-313.
- Pajonk, A., Saurel, R., Blanc, D., Laurent, P. & Andrieu, J. (2003b). Heat transfer study and modeling during Emmental ripening. *Journal of Food Engineering*, 57, 249-255.
- Rahmani, K. (2007) Simulating of mass transfer (salt and water) during salting of UF cheese. M. Sc. thesis, Tabriz University, Iran. (In Farsi)
- Sihufe, G. A., Zorrilla, S. E. & Rubiolo, A. C. (2005). Kinetics of proteolysis of  $\beta$ -casein during ripening of Fynbo cheese salted with NaCl or NaCl/KCl and ripened at different temperatures. *Journal of Food Science*, 68(1), 117-123.
- Simal, S., Sanchez, E. S., Bon, J., Femenia, A. & Rossello, C. (2001). Water and salt diffusion during cheese ripening: effect of external and internal resistances to mass transfer. *Journal of Food Engineering*, 48, 269-275.
- Tijskens, L.M.M., Schijvens, E.P.H.M. & Biekman, E.S.A. (2001) Modelling the change in colour of broccoli and green beans during blanching. *Innovative Food Science and Emerging Technologies*, 2, 303-313.
- Toledo, R. T. (1991) *Fundamentals of food process engineering* (2nd ed.). New York: Van Nostrand, Reinhold
- Turhan, M. & Kakalentunc, G. (1992). Modelling of salt transfer in White cheese during cheese brining. *Journal of Food Science*, 57(5), 1082-1085.
- Zorrilla, S. E. & Rubiolo, A. C. (1994). Fynbo cheese, NaCl and KCl changes during ripening. *Journal of Food Science*, 59(5), 972-975.